

Письма в ЖТФ, том 21, вып. 15

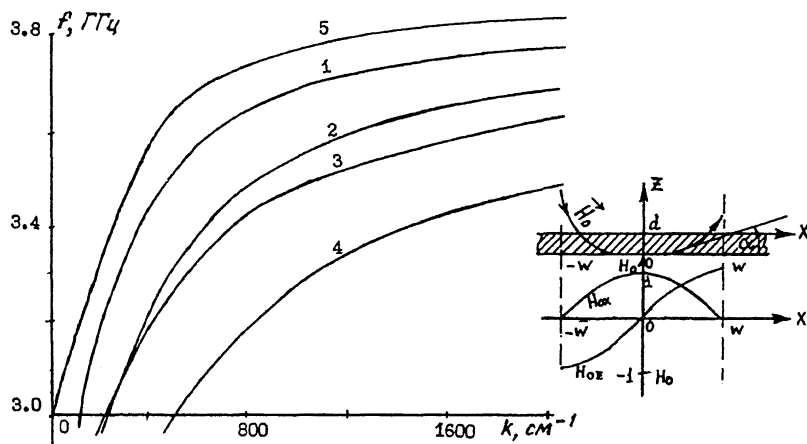
12 августа 1995 г.

05:09  
©1995

ВОЛНОВОДНЫЕ МОДЫ  
МАГНИТОСТАТИЧЕСКИХ ВОЛН  
В СИЛЬНОНЕОДНОРОДНОМ  
ПОЛЕ ПОДМАГНИЧИВАНИЯ  
ИЗМЕНЯЮЩЕЙСЯ ОРИЕНТАЦИИ

*И.В.Васильев*

Эффективным средством управления дисперсией магнитостатических волн (МСВ) является использование неоднородного подмагничивания  $H_O$  [1,2]. В качестве объяснения наблюдаемого в эксперименте эффекта прохождения СВЧ-сигнала в ферритовой пленке ( $\Phi\Pi$ ) в условиях сильно-неоднородного поперечного подмагничивания изменяющейся ориентации высказано предположение, что в исследуемой структуре имеет место волноводное распространение поверхностных МСВ (ПМСВ) [2]. Поскольку интерпретация наблюдаемых в подобных экспериментах результатов затруднена, актуальной представляется проблема математического моделирования дисперсии МСВ в условиях неоднородности  $H_O$ . Между тем в предыдущих работах либо использовалось приближение слабонеоднородного подмагничивания в предположении медленного изменения обеих поперечных компонент  $H_{Ox}$  и  $H_{Oz}$  (рис. 1) поля  $H_O$  в поперечнике исследуемой структуры [3,4], либо не учитывалась нормальная к поверхности ферритовой пластины компонента  $H_{Oz}$  [5,6].

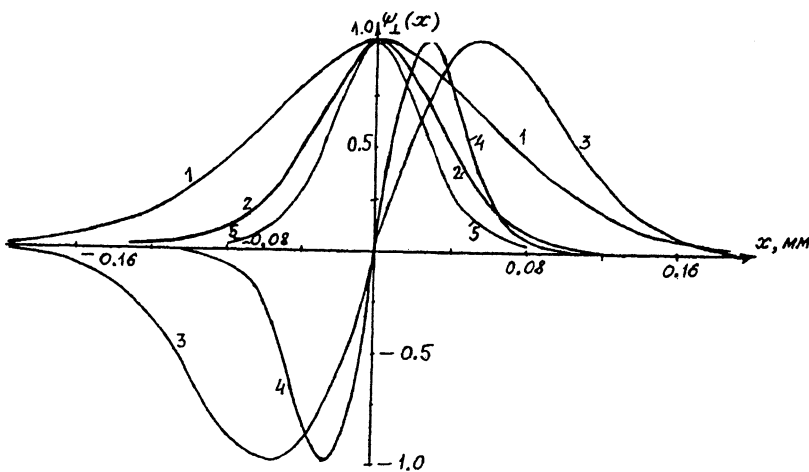


**Рис. 1.** Поперечное сечение исследуемого волновода, нормированное распределение компонент  $H_{0x}$ ,  $H_{0z}$  поля подмагничивания  $H_0$  по  $X$  и дисперсионные зависимости волноводных мод ПМСВ исследуемого волновода: кривые 1, 2 — 1 и 2-й моды при  $w = 0.1$  мм, 3, 4 — то же для  $w = 0.25$  мм. Кривая 5 — зависимость  $k(f)$  ПМСВ в неограниченной ФП при однородном подмагничивании.

В настоящей работе изложены результаты применения созданной в [7,8] универсальной методики моделирования волноводов МСВ к исследованию дисперсии МСВ в волновом канале, образованном неоднородностью поперечного ( $H_{0y} = 0$ ) поля  $H_0$ , обе компоненты  $H_{0x}$ ,  $H_{0z}$  которого считаются отличными от нуля и зависящими от обеих поперечных координат  $X$ ,  $Z$ . Используемая методика в отличие от работ [3,4] не накладывает ограничений на характер функций  $H_{0x}(x, z)$ ,  $H_{0z}(x, z)$ .

Пусть не ограниченная по ширине ФП толщиной  $d$  намагничена до насыщения полем  $H_0$ , имеющим в пределах участка неоднородности постоянную величину и изменяющуюся ориентацию (угол наклона вектора  $H_0$  к оси  $X$ , а изменяется от значения  $-\pi/2$  при  $X = -w$  до  $\pi/2$  при  $X = w$  так, что компоненты  $H_{0x}$ ,  $H_{0z}$  зависят от  $X$  по гармоническому закону (рис. 1)).

Будем искать решение магнитостатической краевой задачи  $\operatorname{div}(\vec{\mu}(x, z)\nabla\Psi) = 0$  в виде  $\Psi = \Psi_\perp(x, z)\exp[i(ky - \omega t)]$ , где  $k$  — искомое волновое число,  $\Psi_\perp$  — поперечное распределение собственного магнитного потенциала исследуемой



**Рис. 2.** Распределение магнитного потенциала волноводных мод ПМСВ по ширине структуры при  $F = 3.08$  ГГц: 1, 3 — для 1-й ( $k = 175.8 \text{ см}^{-1}$ ) и 2-й ( $k = 298 \text{ см}^{-1}$ ) при  $w = 0.25 \text{ мм}$ ; 2, 4 — то же для  $w = 0.1 \text{ мм}$  при  $K = 293.2 \text{ см}^{-1}$  и  $K = 627.4 \text{ см}^{-1}$  соответственно. Кривая 5 — распределение  $\Psi(x)$  1-й моды при  $F = 3.7$  ГГц,  $K = 1127 \text{ см}^{-1}$ .

волны,  $\omega = 2\pi f$  — круговая частота. Ограничим структуру прямоугольным контуром  $L$ , расположенным столь далеко от исследуемого ВК, что можно положить  $\Psi_{\perp} = 0$  в каждой его точке, и покроем поперечное сечение ВК неоднородной прямоугольной сеткой, густота и шаг которой зависят от требуемой точности решения задачи и характера распределения  $\Psi_{\perp(x,z)}$ . В результате применения интегро-интерполяционной версии метода конечных разностей задача сводится к квадратичной проблеме собственных значений с действительными в приближении нулевых магнитных потерь ленточными матрицами. Используя метод обратной итерации для решения указанной проблемы, получаем искомые значения  $k$  и  $\Psi_{\perp}$ . Использованная здесь универсальная методика моделирования волноводов МСВ общего вида позволила без каких-либо усовершенствований численного алгоритма произвести исследование дисперсии МСВ в данном волноводе аналогично тому, как это было сделано в работе [9] для анализа дисперсии МСВ в ФП конечной ширины при строгом учете неоднородности размагничивающего поля.

Расчеты проводились при следующих значениях параметров:  $|H_0| = 500$  Гс, модуль вектора намагниченности  $4\pi M_O = 1760$  Гс,  $d = 0.02$  мм для двух значений  $w = 0.1$  и  $0.25$  мм.

Получены следующие результаты (рис. 1, 2). Установлено, что в структуре могут существовать в виде бегущих волн волноводные моды поверхностных МСВ (ПМСВ) в полосе частот, примерно совпадающей со спектром частот поверхности МСВ (ПМСВ) при однородном  $H_0$  ( $f_\perp < f < f_M/2 + f_0$ ,  $f_0 = |\gamma| |H_0|$ ,  $f_\perp = \sqrt{f_0(f_0 + f_M)}$ ,  $f_M/\gamma 4\pi M_O$ , сравни кривые 1–4 и 5, рис. 1). Моды отличаются между собой формой распределения потенциала  $\Psi_\perp(x)$  по ширине волновода. Как видно из (рис. 2), зависимость  $\Psi_\perp(x)$  имеет форму полуволн, число которых соответствует порядковому номеру моды; низшая по номеру мода имеет меньшее значение  $k$  на одной и той же частоте. Распределение  $\Psi_\perp(z)$  исследуемых мод имеет обычный для ПМСВ в неограниченной ФП характер — при выбранной ориентации поля  $H_0$  максимум зависимости  $\Psi_\perp(z)$  локализован у верхней границы феррит–диэлектрик, при смене знака  $H_0$  максимум распределения поля волноводных мод располагается у нижней границы ФП. Кроме того, на частотах, лежащих в промежутке  $f_0 < f < f_\perp$ , существует множество близко расположенных волн, отличающихся распределением как по  $x$ , так и по  $z$  и имеющих очень узкие частотные спектры. Они соответствуют обнаруженным в [2] при экспериментальном исследовании похожей структуры “дискретным модам”. Как видно из рис. 2, поле волноводных мод даже в длинноволновой части спектра практически полностью втянуто в участок неоднородности  $H_0$ , сужение последнего приводит автоматически к уменьшению ширины волновода. С увеличением частоты, т. е. с уменьшением длины волны волновод еще более сужается (кривая 5, рис. 2). Сравнение дисперсионных кривых двух низших волноводных типов, рассчитанных при разной ширине участка неоднородности, показывает, что ее уменьшение приводит к увеличению различия значений волновых чисел первой и второй мод и к снижению грушевой скорости аналогично тому, как это имеет место в случае волновода МСВ в виде узкой ФП [10].

Полученные результаты являются расчетным подтверждением сделанного в экспериментальной работе [2] предположения о существовании спектра волноводных мод ПМСВ в волновых каналах с сильной ориентационной неоднородностью поля подмагничивания. Границы области локализации поля по ширине структуры, т. е. волнового канала, совпадают с границами участка неоднородности поля  $H_0$ , что указывает на эффективность использования сильнонеоднородного по направлению подмагничивания для изоляции между собой миниатюрных волноводов МСВ.

## Список литературы

- [1] Morgenthaler F.R. // J. of Appl. Phys. 1981. V. 52. N 3. P. 2267.
- [2] Stancil D.D., Morgenthaler F.R. // IEEE Trans. on Magn. 1980. V. 16. N 5. P. 1156.
- [3] Вызуллин С.А., Коротков В.В., Розенсон А.Э. // РиЭ. 1991. Т. 36. № 10. С. 2024.
- [4] Бурлак Г.Н., Тримальский В.В. // РиЭ. 1994. Т. 39. № 1. С. 33.
- [5] Koshiba M., Y. Long // IEEE Trans. on MTT. 1989. V. 37. N 11. P. 1768-1772.
- [6] Sawado E., Chang N.S. // J. Appl. Phys. 1984. V. 55. P. 1062-1067.
- [7] Васильев И.В., Ковалев С.И. // РиЭ. 1993. Т. 38. № 12. С. 2174-2125.
- [8] Vasil'ev I.V., Kovalev S.I. // IEEE Trans. on MTT-42. 1994. N 7. P. 1. P. 1238-1246.
- [9] Васильев И.В., Ковалев С.И. // Письма в ЖТФ. 1992. Т. 18. В. 13. С. 89-93.
- [10] Васильев И.В., Ковалев С.И. // Письма в ЖТФ. 1990. Т. 16. В. 7. С. 56-60.

Саратовский  
государственный  
технический университет

Поступило в Редакцию  
30 ноября 1994 г.  
В окончательной редакции  
27 апреля 1995 г.

---